

Synthesis of PEG-PLA Block Copolymer Nanospheres Containing Mixed Recombinant Proteins of Protective Antigen and Lethal Factor of *Bacillus anthracis*

Hossein Honari^{1*} , Mohammad Ebrahim Minaei¹, Hassan Mirhaj¹, Sayyed Masih Etemadaubi¹

¹Dept of Biology, Faculty of Basic Sciences, Imam Hossein Comprehension University, Tehran, Iran

Article Info

A B S T R A C T

Article type:
Research article

Article History:

Received: 05 December 2020
Revised: 16 December 2020
Accepted: 01 September 2021

*** Correspondence to:**

Hosein Honari
Dept of Biology, Faculty of Basic Sciences, Imam Hossein Comprehension University, Tehran, Iran
Email: Honari.hosein@gmail.com

Introduction: Anthrax is a zoonotic disease and vaccine production is one way to protect people against this bacterium. This study investigates the application of copolymer nanocapsule (PEG-PLA) systems with controlled release specificity for a recombinant protective antigen and lethal factor of *Bacillus anthracis* to provide a vaccine candidate.

Material & Methods: In this experimental study, the dual solvent evaporation emulsion method was used to produce nanocapsules. Moreover, zeta potential and size of nanoparticles, loading efficiency of nanoparticles, recombinant protein release pattern, the probable effect of PLA-PEG nanoparticle production on the shelf life of recombinant proteins were investigated in this study. Mice were used as test and control samples for antibody production and immune response evaluation.

(Ethic code: 9727250)

Findings: The results of this study showed that mixed proteins (LFD1+PAD4) loaded on PEG-PLA block copolymer had an average size of 109 nm, the zeta potential of -27.7 mV, and PDI=0.394. In this study, it was shown that the release of these antigens was carried out in two stages of rapid and slow release. The release of the proteins was estimated at about 20% on the first day and 78% on the 49th day. The titers of antibodies produced in the serum of the mouse groups against these antigens at defined intervals were significantly different from each other.

Discussion & Conclusion: The results of this study suggest the application of PEG-PLA block copolymer nanocapsules containing mixed recombinant proteins of protective antigen and lethal factor of *Bacillus anthracis*. Due to less degradation and more protection of antigen activity in nanoparticles, compared to traditional methods, as well as fewer repeat injections, higher specificity, reduced side effects, lower cost, and slower release rate, the use of nanoparticles is a good option to replace traditional methods.

Keywords: Copolymer nanocapsule, Lethal factor, Protective antigen, Vaccine

➤ How to cite this paper

Honari H, Minaei ME, Mirhaj H, Etemadaubi SM. Synthesis of PEG-PLA Block Copolymer Nanospheres Containing Mixed Recombinant Proteins of Protective Antigen and Lethal Factor of *Bacillus anthracis*. Journal of Ilam University of Medical Sciences. 2022;29(5): 89-101.



ستز نانوسفر کوپلیمری دوبلوکه PEG-PLA حاوی مخلوط پروتئین‌های نوترکیب آنتیژن محافظت‌کننده و فاکتور کشنده باسیلوس آنتراسیس

حسین هنری^{۱*}، محمدابراهیم مینایی^۱، حسن میرحاج^۱، سید مسیح اعتماد ایوبی^۱

^۱ مرکز علم و فناوری زیست‌شناسی، دانشکده و پژوهشکده علوم پایه، دانشگاه جامع امام حسین (ع)، تهران، ایران

اطلاعات مقاله چکیده

نوع مقاله: پژوهشی

تاریخ دریافت: ۱۳۹۹/۰۹/۱۵

تاریخ داوری: ۱۳۹۹/۰۹/۲۶

تاریخ پذیرش: ۱۴۰۰/۰۶/۱۰

نویسنده مسئول:

حسین هنری

مرکز علم و فناوری زیست‌شناسی،

دانشکده و پژوهشکده علوم پایه،

دانشگاه جامع امام حسین (ع)،

تهران، ایران

Email:
Honari.hosein@gmail.com

مقدمه: سیاهزخم از بیماری‌های مشترک انسان و دام است و تولید واکسن یکی از راه‌های محافظت افراد در برابر این باکتری است. مطالعه حاضر کاربرد سامانه‌های نانوکپسول کوپلیمری (PEG-PLA) با ویژگی رهایش کنترل شده برای پروتئین‌های نوترکیب آنتیژن محافظت‌کننده و فاکتور کشنده باسیلوس آنتراسیس را با هدف ارائه کاندید واکسن بررسی می‌کند.

مواد و روش ها: در این مطالعه تجربی، برای تولید نانوکپسول‌ها از روش امولسیون دوگانه تبخیر حلal استفاده شد و اندازه و پتانسیل زتاب نانوذرات، بازده بارگذاری نانوذرات، الگوی رهایش پروتئین نوترکیب، تأثیر احتمالی روش تولید نانوذره PLA-PEG بر پایداری و ماندگاری پروتئین‌های نوترکیب بررسی گردید. به منظور تولید آنتی‌بادی و بررسی پاسخ ایمنی، از موش‌های سوری به عنوان نمونه آزمایش و شاهد بهره گرفته شد.

یافته‌ها: نتایج این تحقیق نشان داد که پروتئین‌های مخلوط (LFD1+PAD4) بارگذاری شده در کوپلیمر دوبلوکه PEG-PLA انداره میانگین 10^9 نانومتر و پتانسیل زتا $-27/7$ میلی ولت و $0/394$ PDI دارند. در این تحقیق نشان داده شد که رهایش آنتیژن‌های یادشده در دو مرحله رهایش سریع و آهسته انجام می‌شود که آزادسازی پروتئین‌ها در روز اول حدود ۲۰ درصد و پس از گذشت ۴۹ روز، به میزان 78% درصد محاسبه گردید. میزان آنتی‌بادی تولیدشده در سرم گروه‌های موشی علیه این آنتیژن‌ها در فواصل زمانی مشخص، با یکدیگر اختلاف معناداری داشتند.

بحث و نتیجه‌گیری: نتایج بدست آمده در این تحقیق، به کارگیری نانوکپسول کوپلیمری دوبلوکه PEG-PLA حاوی مخلوط پروتئین‌های نوترکیب آنتیژن محافظت‌کننده و فاکتور کشنده باسیلوس آنتراسیس را توصیه می‌کند. با توجه به تخریب کمتر و حفاظت بیشتر فعالیت آنتیژن در نانوذرات نسبت به استفاده از روش‌های سنتی و نیز تکرار تزریق کمتر، اختصاصیت بالاتر، کاهش عوارض جانبی، هزینه کمتر و آهسته رهش بودن، استفاده از نانوذرات گزینه مناسبی برای جایگزین شدن با روش‌های سنتی است.

واژه‌های کلیدی: آنتیژن محافظت‌کننده، فاکتور کشنده، نانوکپسول کوپلیمری، واکسن

استناد: هنری، حسین؛ مینایی، محمدابراهیم؛ میرحاج، حسن؛ اعتماد ایوبی، سید مسیح. ستز نانوسفر کوپلیمری دوبلوکه PEG-PLA حاوی مخلوط پروتئین‌های نوترکیب آنتیژن محافظت‌کننده و فاکتور کشنده باسیلوس آنتراسیس. مجله علمی دانشگاه علوم پزشکی ایلام، دی (۵)۱۴۰۰: ۸۹-۱۰۱.



بیماری سیاهزخم در انسان، درنتیجه تماس مستقیم با حیوانات بیمار و یا فراورده‌های حیوانات مانند پوست، مو و پشم ایجاد می‌شود؛ بنابراین دامپزشکان، دامداران، میکروب‌شناسان، کشاورزان، چوپانان، کارگران کشتارگاه‌ها و کارگران مشغول به کار در صنایع پوست و پشم، بیشتر در معرض ابتلا به این بیماری هستند. سه راه بروز آلدگی در انسان به صورت پوستی، تنفسی و گوارشی است. سیاهزخم پوستی، شایع‌ترین شکل سیاهزخم در انسان است که درنهایت، موجب ایجاد یک جوشگاه سیاهرنگ می‌شود. این نوع از سیاهزخم به مرگ در ۲۰ درصد موارد منجر می‌گردد. سیاهزخم تنفسی که درنتیجه تنفس اسپورباقتری رخ می‌دهد، کشنده‌ترین شکل بیماری محسوب می‌شود و موجب مرگ بیمار در مدت ۲۴ ساعت می‌گردد. سیاهزخم گوارشی ناشی از مصرف غذای آلدود به اسپور و نادرترین شکل بیماری در انسان است. تقریباً ۹۵ درصد از موارد ابتلا به سیاهزخم در انسان، از نوع جلدی و پنج درصد از موارد، به شکل تنفسی است (۱، ۲). باکتری باسیلوس آتراسیس سه آنتیژن شامل آنتیژن کپسولی، آنتیژن سوماتیک و کمپلکس سمی دارد (۳).

کمپلکس سمی از سه جزء جداگانه تشکیل شده است که مسئول بیشتر نشانه‌های بالینی برای سیاهزخم است. این سه شامل آنتیژن حفاظتی (۸۳ کیلوالتون)، عامل کشنده (۹۰ کیلوالتون) و عامل آماس یا ادم (۸۹ کیلوالتون) است که به ترتیب توسط ژن‌های pag، lef و cya موجود روی پلاسمید pXO1 باکتری کد می‌شود. ژن atxA به عنوان فعال‌کننده سه سیاهزخم معروف است که تنظیم کننده رونویسی ژن‌های کدکننده سه سم پروتئینی است (۴). وجود پلاسمید و ژن تنظیمی atxA که روی پلاسمید قرار گرفته، برای بیماری زایی ضروری است. آنتیژن حفاظتی به علت نقشی که در فرآخوانی پاسخ ایمنی حفاظتی علیه سیاهزخم دارد، به این نام خوانده شده است. ژن کدکننده PA در لوکوس pag روی پلاسمید

pXO1 قرار گرفته است و پیش‌تر به pBA1 معروف بود. ساختار سه‌بعدی آنتیژن حفاظتی شناسایی شده است. ساختار کریستالی آن نشان می‌دهد که این مولکول به چهار دومین مجزا از نظر عملکردی تقسیم‌بندی می‌شود که روی هم تا می‌خورند. هر دومین برای مرحله خاصی از ایجاد سمیت ضروری است (۵).

واکسیناسیون مؤثرترین روش پیشگیری از بیماری سیاهزخم محسوب می‌شود که می‌تواند جان هزاران نفر را نجات بخشند. عامل این بیماری شامل سه جزء مهم یعنی اسپور، باسیل و سم است که حذف هریک از این موارد حفاظت حداقل را علیه سیاهزخم ایجاد می‌کند (۶).

سویه‌های بیماری‌زای باسیلوس آتراسیس واجد دو پلاسمید بزرگ هستند: پلاسمید توکسین pXO1 و پلاسمید کپسول pXO2. سویه‌هایی که تنها واجد یکی از این‌ها باشند، غیر بیماری‌زا هستند. اولین واکسن که پاستور در سال ۱۸۸۱ تولید کرد، یک سویه تخفیف حدت یافته بود (pXO1-/pXO2+) که کپسول داشت؛ اما توکسین تولید نمی‌کرد. این سویه سطح بسیار پایین‌تری از ایمنی را در مقایسه با سویه‌های واکسن تولید‌کننده توکسین ایجاد می‌نمود. واکسنی که پاستور تهیه کرده بود، ۵۰ سال به طور وسیع در اروپا و آمریکا، برای واکسینه نمودن گاو و گوسفندها به کاربرده شد (۷).

واکسن‌های تأییدشده AVA (استفاده شده در آمریکا) و AVP (استفاده شده در انگلیس) برای جلوگیری از مرگ و میر ناشی از سیاهزخم کاربرد دارند. آنتیژن حفاظتی (PA) جزء اصلی این واکسن‌ها است که در ساختار توکسین کشنده و ادم مشترک است و این توکسین‌ها نقش اصلی را در بیماری‌زایی باکتری دارند. AVP در مقایسه با AVA، حاوی سطوح پایین‌تری از PA و غلظت‌های بالاتری از آنتیژن‌های دیگر سیاهزخم مانند فاکتور کشنده (LF)، فاکتور ادم (EF) و برخی از پروتئین‌های سطحی است و درنتیجه ممکن است از نظر ایجاد مصنونیت به بیماری، از AVA اندکی بهتر

عمل کند (۸).

تحقیقات زیست‌شناسی دانشگاه جامع امام حسین(ع) تهیه و پروتئین‌های مربوط بیان و تخلیص گردید. برای تولید نانوکپسول‌ها از روش امولسیون دوگانه تبخیر حلال استفاده شد. در این روش، محلول بافری به فاز آلی شامل پلیمر اضافه می‌شود و امولسیون اولیه (W/O) را تشکیل می‌دهد. این امولسیون به‌آرامی و در حین هم زدن، به حجم بزرگی از آب که شامل امولسیفایر است (امولسیفایر در این آزمایش پلی وینیل الکل یا PVA است) اضافه می‌گردد تا امولسیون آب-روغن-آب حاصل شود. در پایان، حلال از امولسیون به روش تبخیر و استخراج حلال جدا می‌گردد (۱۲).

برای تهیه نانوذرات PLA-PEG، در یک بشر ۲ میلی لیتر تراهیدروفوران (THF) ریخته و ۴۰ میلی گرم پلیمر PLA-PEG اضافه و سپس حدود ۲ ساعت اجازه داده شد تا پلیمر روی همزن مغناطیسی به خوبی حل شود. پس از گذشت مدت زمان بالا، یک میلی لیتر از مخلوط مساوی پروتئین‌های LFD1 و PAD4 (یک میلی گرم از هر پروتئین) به صورت قطره قطره به محلول پلیمری در حال هم زدن اضافه گردید و سپس حدود ۵ دقیقه اجازه داده شد. پس از این مرحله، امولسیون تهیه شده با قدرت ۷۵ درصد و سیکل ۰/۵ به مدت ۳۰ ثانیه سونیکیت شد. یک میلی لیتر محلول پلی وینیل الکل (PVA) یک درصد در آب مقطر به صورت تازه آمده و سپس با سرنگ محلول حاوی نمونه پلیمر و پروتئین، قطره قطره به PVA در حال هم زدن اضافه گردید؛ سپس همانند مرحله پیش، نمونه سونیکت شد؛ اما این بار مدت زمان سونیکت ۶۰ ثانیه بود. در این مرحله، حجم امولسیون دوگانه W/O/W به دست آمده را با آب مقطر به ۳۰ میلی لیتر رسانده و بشر بر روی همزن قرار گرفت و ۲ ساعت اجازه داده شد تا در حال هم زدن، حلال تراهیدروفوران کاملاً تبخیر شود. با گذشت زمان لازم برای تبخیر حلال و سخت شدن ذرات موجود در محلول، جمع آوری ذرات آن‌ها انجام گرفت. برای جمع آوری ذرات، کل محلول به داخل دو لوله فالکون ۵۰ میلی لیتری جداگانه ریخته و به مدت ۲۰ دقیقه با

واکسن‌های مبتنی بر PA نوترکیب (rPA) یکی از گزینه‌های جایگزین برای واکسن‌های AVA و AVP هستند. این واکسن‌های نوترکیب با سرعت بیشتری سبب مصنوبیت می‌شوند و بنابراین می‌توانند در موارد پس از مواجهه با عامل بیماری سیاه‌زخم، مؤثرتر از واکسن‌های نسل گذشته عمل کنند. از سویی، واکسن‌های نوترکیب از نظر فرمولاسیون، همگنی بالاتری دارند و اینمی و مصنوبیت‌زاوی این واکسن‌ها با استفاده از آزمایش‌های بالینی مشخص شده است (۹)؛ همچنین با توجه به مطالعات صورت گرفته، تولید واکسن‌های نوترکیب حاوی PA و فاکتور کشنده می‌تواند اثرگذاری بیشتری برای فعال‌سازی دستگاه اینمی داشته باشد؛ درنتیجه، نسل‌های جدید واکسن به‌سوی تولید واکسن‌های کایمیرین آنتی‌ژن حفاظتی و فاکتور سم است (۱۰). تجویز PA به صورت داخل جلدی، جزو روش‌های موفقیت‌آمیز برای واکسیناسیون سیاه‌زخم است. استفاده از پچ‌های پوستی حاوی rPA و جایگزینی آن زیرپوست، موجب القای سطح چشمگیری از آنتی‌بادی در حیوانات الگو شده است (۱۱). در این مطالعه تجربی، به کارگیری سامانه‌های نانوکپسول کوپلیمری (PEG-PLA) با ویژگی رهایش کنترل شده برای پروتئین‌های نوترکیب آنتی‌ژن محافظت کننده و فاکتور کشنده باسیلوس آتراسیس با هدف ارائه کاندید واکسن بررسی شده است. استفاده از نانوکپسول برای تولید واکسن نوترکیب سیاه‌زخم، با توجه به ویژگی‌های نانوذرات در رهایش و حفاظت بیشتر فعالیت آنتی‌ژن می‌تواند گزینه مناسبی برای جایگزین شدن با روش‌های سنتی باشد.

مواد و روش‌ها

تهیه نانوذرات حاوی پروتئین‌های مخلوط LFD1 و PAD4: آنتی‌ژن‌های استفاده شده در این تحقیق، مخلوط پروتئین‌های نوترکیب LFD1 (دامنه ۱ فاکتور کشنده) و PAD4 (دامنه ۴ آنتی‌ژن حفاظتی) سیاه‌زخم بود که باکتری‌های دارای این دو ژن به صورت جداگانه، از مرکز

PLA حاوی ۳ میلی‌گرم پروتئین در حجم ۵۰۰ میکرولیتر محلول PBS درون میکروتیوب ۲ میلی‌لیتری ریخته و با هم زدن پراکنده شد. میکروتیوب درون شیکر انکوباتور در دمای ۳۷ درجه سانتی‌گراد و ۲۰۰ rpm قرار گرفت و در فواصل زمانی منظم، نمونه‌برداری از محلول انجام گردید (۱۴). انجام این آزمون به مدت ۴۹ روز ادامه داشت؛ سپس با استفاده از روش پروتئین‌سنجدی برادفورد با سه بار تکرار، غلظت پروتئین موجود در نمونه تعیین شد. درنهایت، منحنی درصد تجمعی پروتئین رهاشده از نانوذرات در مدت زمان‌های تعیین شده ترسیم گردید.

بررسی پایداری و ماندگاری پروتئین در طول تهیه نانوذرات: برای مشخص کردن تأثیر احتمالی روش تولید نانوذرة PLA-PEG بر پایداری و ماندگاری پروتئین، ابتدا حجم مشخصی از محلول حاوی نانوذره پس از تولید به یک لوله فالکون ۱۵ میلی‌لیتری منتقل و سپس سانتریفیوژ ۲ شد. پس از حذف محلول رویی، به رسوب آن‌ها ۲ میلی‌لیتر بافر رهایش نانوذره (محلول حاوی ۵% SDS و ۰.۱M NaOH) اضافه گردید (۱۵)؛ سپس نمونه نانوذرات در مدت زمان ۱۶ ساعت در محلول رهایش سریع روی شیکر به‌آرامی شیک شدند. درنهایت، نمونه جمع‌آوری شده از تخریب کامل نانوذرات به همراه حجم SDS-PAGE مشخص پروتئین نوترکیب، در ژل رنگ‌آمیزی گردید تا وجود باندهای پروتئینی رهایش شده از نانوذرات مشخص شود.

تزریق زیرپوستی پروتئین‌های مخلوط (LFD1 و PAD4) به گروه‌های موشی: به‌منظور تولید آنتی‌بادی و بررسی پاسخ ایمنی، از موش‌های سوری (از نوع *Mus musculus* ماده با وزن ۲۰–۲۵ گرم و سن ۴ هفته) به عنوان نمونه آزمایش و شاهد استفاده شد. برای انجام ایمنی‌زاوی، مخلوط پروتئین‌های نوترکیب PAD4+LFD1 (به نسبت مساوی) که هر دو غیر بارگذاری شده هستند، به‌طور جداگانه طی چهار نوبت به گروه آزمایش به ترتیب در روز اول، روز چهاردهم، روز بیست و هشتم و روز چهل و دوم به صورت زیرپوستی و به گروه شاهد به همین

سرعت g ۲۰۰۰۰ سانتریفیوژ گردید. پس از تهشیش شدن کامل ذرات، به‌منظور ارزیابی بازده بارگذاری از لحاظ مقدار پروتئین منتقل شده به فاز آبی دوم، مایع رویی جمع‌آوری و بررسی شد؛ سپس رسوب دو بار و هر بار با ۱۵ میلی‌لیتر آب قطره دو بار تقطیر شده شستشو داده و با سرعت g ۲۰۰۰ به مدت ۱۵ دقیقه سانتریفیوژ گردید (۱۳). بررسی ویژگی‌های ظاهری نانوذرات: برای بررسی اندازه و پتانسیل زتابی نانوذرات تولید شده، با استفاده از پراش نور پویا از دستگاه Malvern (DLS) ساخت کشور انگلستان استفاده شد. برای بررسی ویژگی‌های ظاهری نانوذرات، از میکروسکوپ الکترونی روبشی (SEM) (مدل EM3200) ساخت شرکت KYKY ساخت کشور چین استفاده گردید. به‌منظور جلوگیری از رشد نانوذرات، نمونه‌های تازه تهیه شده روی یک سطح شیشه‌ای قرار گرفتند. پس از خشک شدن کامل، نمونه به‌وسیله یک لایه نازک طلا با روش P.V.D پوشش داده شد. برای انجام لایه‌نشانی طلا از دستگاه Sputter coater (مدل SBC12) ساخت شرکت KYKY ساخت کشور چین استفاده گردید. درنهایت، پس از لایه‌نشانی، نمونه نانوذرات توسط میکروسکوپ ارزیابی شدند.

بررسی بازده بارگذاری نانوذرات: به‌منظور بررسی بازده بارگذاری نانوذرات، پس از تهیه نانوذرات و انجام سانتریفیوژ، ۲۰ میلی‌گرم از نانوذرات در یک میلی‌لیتر سود یک مولار مخلوط و به‌آرامی برای چند دقیقه، ورتکس و پروتئین در محلول PBS از نانوذرات خارج می‌شود؛ سپس محلول سانتریفیوژ و سوب به‌دست آمده برای مشخص شدن میزان پروتئین آنالیز می‌گردد. بازده بارگذاری با استفاده از فرمول زیر محاسبه می‌شود (۱۳):

$$EE = \frac{m}{m_0} \times 100\%$$

= میزان پروتئین اولیه

= میزان پروتئین بارگذاری شده در نانوذرات
بررسی برونتن رهایش آنتی‌زن از نانوذرات: برای بررسی الگوی رهایش پروتئین نوترکیب، میزانی از نانوذرات

نانوذرات بدون پروتئین و PBS استفاده گردید. به منظور تعیین تیتر آنتی بادی موجود در سرم موش از روش الیزای غیر مستقیم استفاده گردید. برای بررسی آماری داده ها از آزمون های ANOVA و T-test بهره گرفته شد. این آزمون برای مقایسه میانگین تیتر آنتی بادی نمونه ها انجام گردید.

ترتیب PBS تزریق گردید (جدول شماره ۱)؛ همچنین مخلوط پروتئین های نوترکیب PAD4+LFD1 کپسوله شده در نانوذرات PLA-PEG نیز به شکل یک تزریقه (روز اول) و دو تزریقه (روز اول و بیست و هشتم) به صورت زیرپوستی انجام شد (جدول شماره ۲). برای حیوانات شاهد نیز به جای آنتی زن از

جدول ۱. گروه ها، زمان و مقادیر پروتئینی غیر بار گذاری شده تزریقی در مراحل ایمن سازی

ردیف	پروتئین تزریقی	روز اول	تزریق ۱ (۲۰ میکرو گرم)			تزریق ۲ (۲۰ میکرو گرم)			تزریق ۳ (۱۰ میکرو گرم)	تعداد	روش تزریق
			روز ۱۴	روز ۲۸	روز ۴۲	روز ۲۸	روز ۱۴	روز اول			
۱	LFD1+PAD4 آزاد	+	+	+	+	+	+	+	۵ سر در هر گروه	۵	
۲	PBS	+	+	+	+	+	+	+	زیرپوستی گروه		

جدول ۲. گروه ها، زمان و مقادیر پروتئینی بار گذاری شده تزریقی در مراحل ایمن سازی

ردیف	پروتئین تزریقی	تزریق ۱ (۲۰ میکرو گرم)		تزریق ۲ (۲۰ میکرو گرم)		تعداد موش ها در هر گروه	روش تزریق
		روز اول	روز ۲۸	روز اول	روز ۲۸		
۱	LFD1+PAD4 بار گذاری شده در نانوذرات	-	-	+	-	۵ سر در هر گروه	زیرپوستی
۲	LFD1+PAD4 بار گذاری شده در نانوذرات	-	-	+	-	۵ سر در هر گروه	زیرپوستی
۳	PLA-PEG نانوذرات	-	-	+	-	۵ سر در هر گروه	زیرپوستی

نتایج بررسی بروون تن رهایش آنتی زن از نانوذرات: برای بررسی بروون تن رهایش آنتی زن از نانوذرات PEG-PLA پس از ۴۹ روز، بر اساس درصد تجمعی

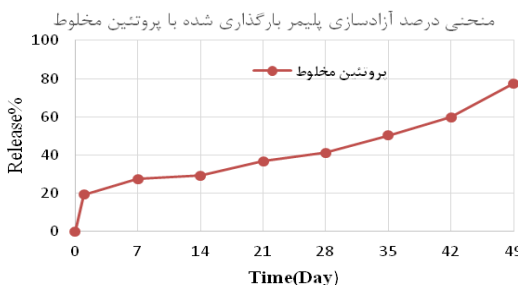
جدول ۳. بررسی مقدار بهینه ظرفیت بار گیری با تغییر غلظت پلیمر و آنتی زن. فرمولاسیون های متفاوت با تغییر غلظت پلیمر و غلظت پروتئین مخلوط برای بدست آوردن بیشترین ظرفیت بار گیری نانوذرات تهیه شد.

درصد ظرفیت LFD1+PAD4	غلظت پلیمر (درصد)	غلظت پروتئین مخلوط (میلی گرم)	درصد ظرفیت
۴۴/۴	۲	۲	۲
۳۵/۴	۲	۴	۲
۴۱	۲	۶	۲
۳۳	۲	۸	۲
۴۲	۱	۲	۲

یافته ها

نتایج بازده بار گذاری نانوذرات: برای بررسی بازده بار گذاری نانوذرات، پس از ساخت نانوذرات و انجام سانتریفیوژ، نانوذرات Freez drying شدند. محلول رویی جمع آوری و پروتئین سنجی انجام و بر اساس فرمول بخش روش ها ظرفیت بار گیری نانوذرات محاسبه گردید (جدول شماره ۳).

بر اساس نتایج جدول شماره ۳، بهترین شرایط برای بیشترین میزان بار گذاری پروتئین هنگامی بود که از محلول PEG-PLA با غلظت ۲۰ میلی گرم در میلی لیتر حلال آلی (غلظت ۲ درصد) و میزان پروتئین ۲ میلی گرم استفاده شد. در این شرایط، میزان بار گذاری پروتئین در نانوذرات حدود ۴۴/۴ درصد برای پروتئین مخلوط محاسبه گردید.



شکل ۱. نتایج درصد تجمعی رهایش پروتئین نوترکیب مخلوط از نانوذرات PEG-PLA در طول مدت ۴۹ روز. پس از گذشت ۴۹ روز، درصد رهایش پروتئین های مخلوط نوترکیب PAD4+LFD1 کمپسوله شده در نانوذرات PLA-PEG حدود ۷۸ درصد تعیین گردید.

رهایش پروتئین در نمودار نمایش داده شد. همان‌طور که در شکل شماره ۱ مشاهده می‌شود، پس از این مدت زمان، در حدود ۷۸ درصد رهایش از نانوذرات PEG-PLA انجام شده است.

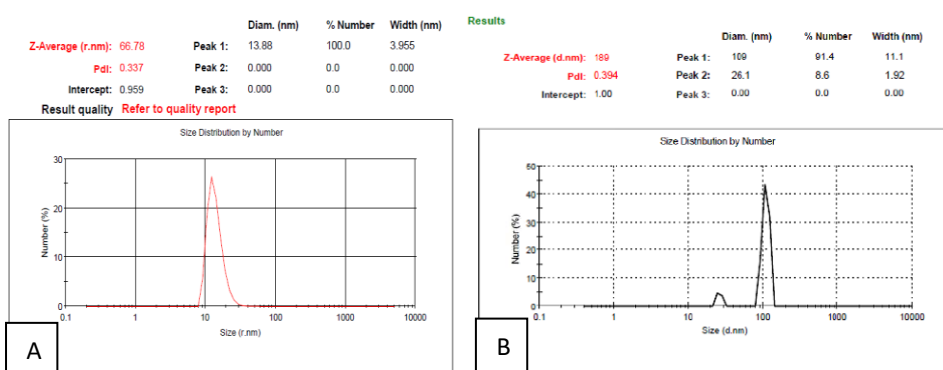
نتایج بررسی ویژگی‌های ظاهری نانوذرات: در بررسی اندازه و پتانسیل زتا نانوذرات با استفاده از پراش نور پویا، نتایج نشان‌دهنده این بود که از نظر پتانسیل زتا و PDI نانوذرات در محدوده مناسبی قرار داشتند (جدول شماره ۴).

جدول ۴. بررسی ویژگی‌های فیزیکوشیمیابی نانوذرات با استفاده از پراش نور پویا. با تغییر در مؤلفه‌های مؤثر در فرایند ساخت نانوذرات، درنهایت نانوذرات آنتیزن مخلوط PAD4+LFD1 با گذاری شده در PEG-PLA با میانگین اندازه ۱۰۹ نانومتر و پتانسیل زتا ۴۷/۷ میلی‌ولت و ۰.۳۹۴ DPI تهیه شد.

PDI	اندازه (نانومتر)	پتانسیل زتا (میلی ولت)	نمونه کنترل نانوذرات حاوی مخلوط پروتئین‌های LFD1 و PAD4
۰/۳۳۷	۱۳/۸۸	-۳۲/۱	
۰/۳۹۴	۱۰۹	-۴۷/۷	

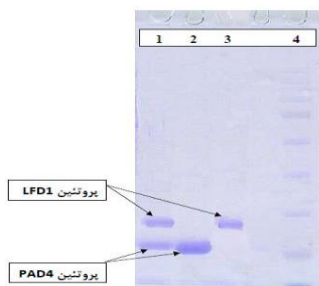
در طول تهیه نانوذرات و در شرایط خنثی، از طریق الگوی الکتروفورز بررسی گردید. کیفیت الگوی باندی پروتئین‌های LFD1 و PAD4 پیش از بارگذاری در نانوذرات PEG-PLA و پس از رهایش از آن‌ها تغییر مشخصی نداشت (شکل شماره ۴). ارزیابی تیتر IgG در سرم موش‌های ایمن شده: به منظور ارزیابی تیتر آنتی‌بادی تولید شده از تزریق پروتئین‌های مخلوط (PAD4 و LFD1) به سه شکل

در بررسی ویژگی‌های ظاهری نانوذرات توسط میکروسکوپ الکترونی، تصاویر میکروسکوپ الکترونی کروی و صاف بودن سطح ذرات حاصل از فرایند تولید نانوذرات در شرایط بهینه را مطابق نشان داد. شکل شماره ۳ تصویر میکروسکوپ الکترونی از نانوذرات تهیه شده است که کروی و تا حد بسیاری حائز شرایط ایدئال هستند. نتایج بررسی پایداری و ماندگاری پروتئین نوترکیب در طول تهیه نانوذرات: پایداری و ماندگاری پروتئین نوترکیب

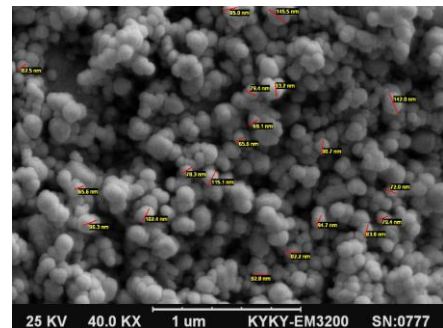


شکل ۲. نمودار بررسی بازه توزیع اندازه نانوذرات PEG-PLA حاوی پروتئین مخلوط PAD4+LFD1 (A) و بدون پروتئین (B) در شرایط بهینه توسط دستگاه DLS. منحنی‌های آزمون پراکندگی نور دینامیکی بر حسب اندازه (nm) و توزیع (%).

شد که نتایج در شکل‌های شماره ۵، ۶ و ۷ مشاهده شد.

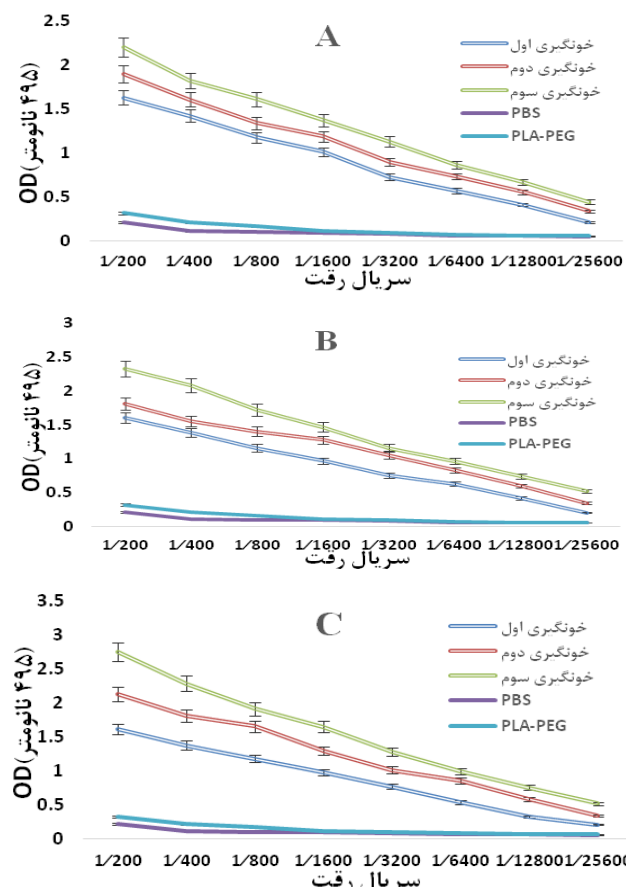


شکل ۴. الگوی الکتروفورز ارزیابی کیفیت پروتئین مخلوط LFD1 و PAD4 رهایش یافته از نانوذرات PEG-PLA مدل ۱. پروتئین های LFD1 و PAD4 یافته از نانوذرات PEG-PLA؛ ستون ۲. پروتئین PAD4 پیش از بارگذاری در نانوذرات PEG-PLA؛ ستون ۳. پروتئین LFD1 پیش از بارگذاری در نانوذرات PEG-PLA؛ ستون ۴. نشانگر مولکولی پروتئین. با مقایسه الگوی باندی پروتئین های LFD1 و PAD4 پیش از بارگذاری در نانوذرات PEG-PLA و پس از رهایش از آنها، تغییری در کیفیت آن ایجاد نشده است.

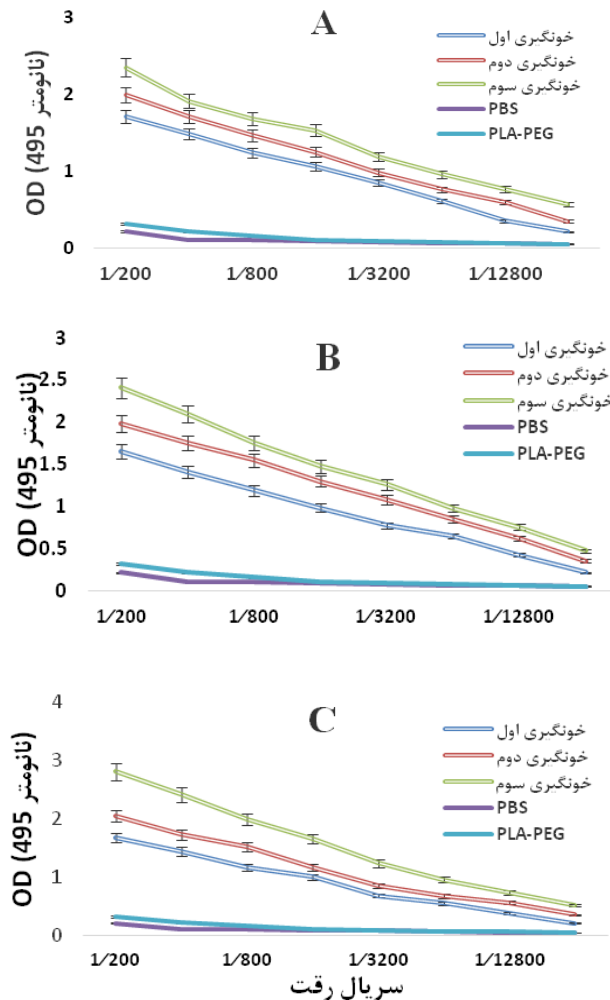


شکل ۳. تصویر میکروسکوپ الکترونی SEM مدل-EM3200 از نانوذرات حاوی پروتئین (نانوذرات خشک شده بر سطح شیشه ای، روی گرید قرار گرفته و پس از پوشش دهی با طلا تصویربرداری شد).

آزاد (چهار بار تزریق)، بارگذاری شده (یک بار تزریق) و بارگذاری شده (دو بار تزریق) و محاسبه میزان آن در هر مرحله تزریق، از روش الیزای غیرمستقیم علیه آنتی‌زن‌های LFD1، PAD4 و پروتئین مخلوط LFD1+PAD4 استفاده



شکل ۵. منحنی الیزای تولید آنتی‌بادی IgG ۱۰ روز پس از هر بار تجویز تزریقی پروتئین مخلوط LFD1 و PAD4 به سه صورت آزاد (A)، بارگذاری شده یک‌تزریقه (B) و بارگذاری شده دو‌تزریقه (C) علیه پروتئین LFD1 تولید آنتی‌بادی علیه پروتئین های مخلوط نترکیب در برابر آنتی‌زن LFD1 انجام شده است و بالاترین میزان تیتر آنتی‌بادی مربوط به خون‌گیری سوم است. تیتر آنتی‌بادی علیه پروتئین های مخلوط به صورت دو بار تزریق بارگذاری شده در نانوذرات PLA-PEG، نسبت به یک‌بار تزریق بارگذاری شده و آزاد، بیشتر است.

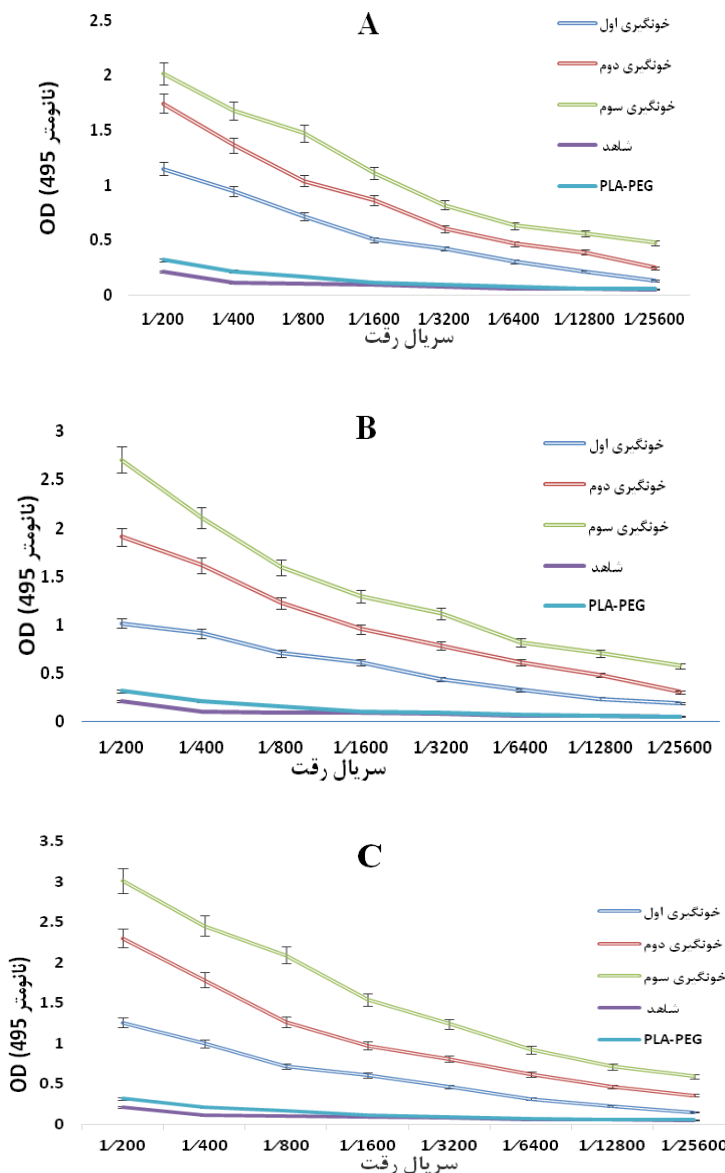


شکل ۶. منحنی الیزای تولید آنتی‌بادی IgG₁ ۱۰ روز پس از هر بار تجویز تزریقی پروتئین مخلوط PAD4 و LFD1 (A)، با رگذاری شده یک تزریق (B) و با رگذاری شده دوتزریقه (C) علیه پروتئین‌های مخلوط نوترکیب PAD4+LFD1 در برابر آنتی‌ژن PAD4 انجام شده است و بالاترین میزان تیتر آنتی‌بادی مربوط به خون‌گیری سوم است. تیتر آنتی‌بادی علیه پروتئین‌های مخلوط به صورت دو بار تزریق بارگذاری شده در نانوذرات PLA-PEG، نسبت به یک بار تزریق بارگذاری شده و آزاد، بیشتر است.

آنتی‌بادی علیه پروتئین‌های مخلوط به صورت بارگذاری شده نسبت به آزاد، تولید میزان بیشتر آنتی‌بادی را نشان می‌دهد؛ همچنین اختلاف تیتر آنتی‌بادی میان گروه‌های یک‌بار تزریق بارگذاری شده و دو بار تزریق بارگذاری شده و آنتی‌ژن آزاد نشان‌دهنده آن است که بیشترین تیتر آنتی‌بادی، مربوط به دو بار تزریق بارگذاری شده است. نتایج الیزا نشان داد که نانوذرات حاوی آنتی‌ژن مخلوط PAD4+LFD1 می‌تواند با رهایش تدریجی و عرضه آن به دستگاه ایمنی، میزان مناسبی آنتی‌بادی تولید کند.

می‌شود. نتایج نشان داد که بالاترین میزان تیتر آنتی‌بادی در همه تجویزها مربوط به خون‌گیری سوم بود که ۱۰ روز پس از آخرین تزریق، خون‌گیری از موش‌ها به عمل آمده است؛ همچنین در خون‌گیری آخر، بیشترین آنتی‌بادی علیه نانوذرات بارگذاری شده با آنتی‌ژن مخلوط PAD4+LFD1 اندازه‌گیری شد.

افزایش تیتر آنتی‌بادی در گروه‌هایی که نانوذرات حاوی آنتی‌ژن مخلوط PAD4+LFD1 را دریافت کرده‌اند، نشان می‌دهد که نانوذرات توانسته‌اند به عنوان ادجوانی عمل کنند و با رهایش مناسب و طولانی‌مدت آنتی‌ژن، آنتی‌بادی بیشتری را تولید نمایند. تیتر



شکل ۷. منحنی الیزای تولید آنتی بادی IgG ۱۰ روز پس از هر بار تجویز تزریقی پروتئین مخلوط LFD1 و PAD4 به سه صورت آزاد (A)، با رگذاری شده یک تزریقه (B) و با رگذاری شده دو تزریقه (C) علیه پروتئین مخلوط LFD1+PAD4. تولید آنتی بادی علیه پروتئین های مخلوط نوترکیب PAD4+LFD1 در برابر آنتی ژن LFD1+PAD4 انجام شده است و بالاترین میزان تیتر آنتی بادی مربوط به خون گیری سوم است. تیتر آنتی بادی علیه پروتئین های مخلوط به صورت دو بار تزریق با رگذاری شده در نانوذرات PLA-PEG، نسبت به یک بار تزریق با رگذاری شده و آزاد، بیشتر است؛ همچنین تولید آنتی بادی علیه پروتئین های مخلوط نوترکیب PAD4+LFD1 در برابر آنتی ژن LFD1 نسبت به آنتی ژن PAD4 (شکل شماره ۵) و آنتی ژن PAD4 (شکل شماره ۶) بیشتر بود.

ایفا می کند. امروزه، تلاش های فراوانی برای بهینه کردن عملکرد داروها و واکسن ها به منظور کاهش آثار جانبی آن انجام می شود. نانوذرات وسیله مناسبی برای تحويل داروهایی با وزن مولکولی کم و نیز ماکرومولکول های بزرگ مانند پروتئین ها، پپتیدها و یا ژن ها در بدن (از راه های تجویزی مختلف) هستند (۱۶، ۱۷). از نانوذرات

بحث و نتیجه گیری

در چند سال اخیر، به استفاده از سامانه های کنترلی انتقال دارو و واکسن توجه شده است. کاربرد این سامانه ها بیانگر این نکته مهم است که سرنوشت و عملکرد دارو در بدن، تنها به خواص دارو بستگی ندارد، بلکه رهایش کنترل شده آن نیز نقش مهمی در این زمینه

هیدروفیل بهویژه پروتئین‌ها و کپسوله شدن پایین داروهای قطبی تا حدودی محدود می‌شود (۲۲). ماندگاری اندک سامانه‌های هموپلیمری PLA در خون، به علت تشخیص و به دام افتادن آن‌ها بهوسیله ماکروفازها در سیستم فاگوسیست تک‌هسته‌ای است که این فرایند فاگوسیتوز، از اینتراکشن نانوذرات با بعضی از پروتئین‌های خون طی فرایند اُپسونیزاسیون ناشی می‌گردد. اُپسونی شدن وابسته به هیدروفویسیته سطح نانوذرات است، به گونه‌ای که هرچه هیدروفویسیته سطح بیشتر باشد، فرایند اُپسونی شدن بیشتر اتفاق می‌افتد و ماندگاری آن نانوذرات در خون کاهش می‌یابد (۲۳). برای رفع این معایب، از پلی‌اتیلن گلیکول (PEG) در ساخت این پلیمر استفاده شد. استفاده از این ماده در پلیمر یادشده تقریباً بیشتر مشکلات بیان شده را رفع کرد.

لی و همکاران اثربخشی واکسنی زیروحالی مرکب از سه پروتئین غشای خارجی هموفیلوس پاراسوئیس را در مدل موشی بررسی کردند که در این مطالعه، نسبت مساوی از ترکیبات دوتایی و سه‌تایی آن‌ها برای تزریق به حیوان آزمایشگاهی استفاده گردید. نتایج به دست آمده نشان داد که این پروتئین‌های مخلوط در مقایسه با پروتئین انفرادی، بیشترین میزان آنتی‌بادی و اینمنی زایی را ایجاد می‌کنند (۲۴). مارتین و همکاران، بهمنظور ایجاد اینمنی علیه لیشمایوز احشایی (کالا آزار)، واکسنی متشکل از ترکیب نسبت‌های مساوی سه پروتئین لیشمایزا اینفانتوم را بررسی کردند (۲۵).

در پژوهش حاضر، در انتخاب نوع نانوذرهای که بتواند اهداف این پژوهش را برآورده کند، نکاتی مانند زیست‌سازگاری و زیست‌تخربی‌پذیری، ساختار فیزیکی و شیمیایی نانوذره، عدم آسیب به آنتی‌ژن یعنی محلول در آب باشد و طی فرآیند سنتز آن از موادی استفاده نشود که منجر به تخرب آنتی‌ژن گردد، رهایش آنتی‌ژن کنترل شده و قابل تنظیم، مقرن‌به‌صرفه بودن تهیه و استفاده از آن مدنظر بوده است. در این زمینه، کوپلیمرهای دوتایی-PEG PLA انتخاب گردید و پروتئین‌های مخلوط (LFD1+ PAD4) در نانوذره بارگذاری شد. در این تحقیق نشان داده

کوپلیمر PLA-PEG به عنوان سامانه‌های رسانش دارو و پروتئین از جمله داروهای ضدسرطان، ضدویروسی و کاندیدای واکسن برای بیماری‌های مختلف استفاده شده است (۱۸).

ویلا و همکاران توکسینید کزار را در نانوذرات پلیمری دوبلوک PLA-PEG با رگذاری کردند و بازده بارگذاری را حدود ۳۵ درصد گزارش نمودند که از مطالعه این پژوهش کمتر است. در این مطالعه، رهایش آنتی‌ژن در دو مرحله سریع و آهسته گزارش گردید که البته به زمان و درصد آن اشاره‌ای نشده است (۱۹).

مانیش و همکاران دامنه ۴ آنتی‌ژن حفاظتی باسیلوس آنتراسیس را در نانوذرات پلیمری PLGA با رگذاری کردند که رهایش دو مرحله‌ای از این نانوذرات حدود ۵۰ درصد در روز اول و ۷۵ درصد تا روز ۲۸ گزارش گردید (۲۰). در مطالعه مانیش و همکاران، اندازه نانوذرات ۲۴۵ نانومتر و پتانسیل زتا ۱۹-۲۵ میلی ولت تعیین شد (۲۰) و در مطالعه ویلا و همکاران، اندازه نانوذرات ۲۰۰ نانومتر و پتانسیل زتا حدود ۲۵/۵-۲۵ میلی ولت (۱۹) گزارش گردید. در مطالعه دیگری، قاسمی و همکاران فاکتور رشد انسانی نوترکیب را در نانوذرات پلیمری دوبلوک PLA-PEG با رگذاری و رهایش سریع را ۱۷/۵ درصد و رهایش آهسته در مدت ۴۲ روز را ۶۵ درصد گزارش کردند؛ همچنین بازده بارگذاری حدود ۴۶ درصد گزارش شد که با مطالعه حاضر همخوانی دارد (۱۳).

در پژوهشی که مالیک و همکاران درباره بارگذاری آنتی‌ژن حفاظتی در نانوذرات کیتوزان انجام دادند، غلظت مناسب کیتوزان برای بارگذاری حدود ۱۰ میلی‌گرم و مقدار پروتئین PA حدود ۰/۱ میلی‌گرم بر میلی‌لیتر بود. اندازه نانوذرات به دست آمده حدود ۲۵۴ نانومتر محاسبه گردید. در رهایش سریع، حدود ۳۰ درصد در زمان ۶ ساعت و تا ۱۰۰ ساعت، حدود ۷۵ درصد پروتئین آزاد گردید (۲۱).

به‌طور کلی، کاربرد PLA به علت آب‌گریزی بالای آن، زمان تجزیه بیش از حد طولانی، تولید محیط اسیدی به‌محض تجزیه آن به اسید لاکتیک، محیط غیردوستانه برای داروهای

بودن عامل سیاهزخم در جنگ‌ها و فعالیت‌های بیوتوریستی، طراحی سامانه‌ای برای پیشگیری یا درمان یک ضرورت است. در سال‌های اخیر، تلاش‌های فراوانی برای استفاده از فناوری نانو به منظور تحويل دارو و واکسن صورت گرفته است. در صنعت تولید واکسن، سامانه‌های سنتی آنتیژن‌رسانی که میزان بارگیری پایینی دارند، موجب تخرب بخشی از آنتیژن می‌شوند. پایداری اندک، آزادسازی سریع آنتیژن را به دنبال دارد و انتقال مقدار موردنیاز آنتیژن به بدن حیوان، نیازمند تکرار تزریق است؛ بنابراین، با توجه به تخرب کمتر و حفاظت بیشتر فعالیت آنتیژن در نانوذرات نسبت به استفاده از روش‌های سنتی و نیز تکرار تزریق کمتر، اختصاصیت بالاتر، کاهش عوارض جانبی، هزینه کمتر و آهسته رهش بودن، استفاده از نانوذرات گزینه مناسبی برای جایگزین شدن با سامانه‌های سنتی است.

تعارض منافع

نویسنده‌گان اعلام می‌کنند که تضاد منافعی در این مطالعه وجود ندارد.

کد اخلاق: ۹۵۲۷۲۵۰

References

- Riedel S, Hobden JA, Miller S, Morse SA, Mietzner TA, Detrick B, et al. Jawetz melnick adelbergs medical microbiology. 28th ed. McGraw Hill Publication. 2007; P.231-6.
- Khardori N. Anthrax bacteriology clinical presentations and management in khardori bioterrorism preparedness medicine public health policy. Wiley VCH Verlag GmbH Weinheim Publication.2006; P. 123-45.
- Gonzalez MR, Bischofberger M, Pernot L, Goot FG, Freche B. Bacterial poreforming toxins the hole story. *Cell Mol Life Sci* 2008; 65:493-507
- Edwards KA, Clancy HA, Baeumner AJ. *Bacillus anthracis* toxicology, epidemiology and current rapid detection methods. *Anal Bioanal Chem*2006;384:73-84. doi.10.1007/s00216-005-0090-x.
- Gupta P, Waheed SM, Bhatnagar R. Expression and purification of the recombinant protective antigen of *Bacillus anthracis*. *Prote Exp Pur* 1999; 16:369-76. doi.10.1006/prep.1999.1066.
- Wang, JY, Roehrl, MH. Anthrax vaccine design: strategies to achieve comprehensive protection against spore *Bacillus* and toxin. *Med Immunol* 2005; 24: 4:4. doi.10.1186/1476-9433-4-4
- Hepburn MJ, Hugh Dyson E, Simpson AJ, Brenneman KE, Bailey N, Wilkinson L, Hornby R, Mateczun AJ, Bell MG, Baillie LW. Immune response to two different dosing schedules of the anthrax vaccine precipitated vaccine. *Vaccine*2007; 25:6089-97. doi.10.1016/j.vaccine.2007.05.018.
- Chi X, Li J, Liu W, Wang X, Yin K, Liu J, Zhang X. Generation and characterization of human monoclonal antibodies targeting anthrax protective antigen following vaccination with a recombinant protective antigen vaccine. *Clin Vac Immunol* 2015; 22: 553-60. doi.10.1128/CVI.00792-14
- Williamson D, Dyson EH. Anthrax prophylaxis recent advances and future directions. *Front Microbiol*2015; 6, 1009. doi.10.3389/fmicb. 2015.01009
- Knockenhauer KE, Sawicka KM, Roemer EJ, Simon SR. Protective antigen composite nanofibers as a transdermal anthrax vaccine. *Con Proc IEEE Eng Med Biol Soc*2008;5: 1040-3. doi. 10.1109/IEMBS.2008.4649337
- Blum JS, Saltzman WM. High loading efficiency and tunable release of plasmid DNA encapsulated

- in submicron particles fabricated from Plga conjugated with poly L lysine]. J Cont Rel 2008;129:66-72. doi.10.1016/j.jconrel.2008.04.002
12. Ghasemi R, Abdollahi M, Zadeh EE, Khodabakhshi K, Badeli A, Bagheri H, et al. Mpeg-pla and pla-peg-pla nanoparticles as new carriers for delivery of recombinant human growth hormone. Sci Rep2018;8:9854. doi.10.1038/s41598-018-28092-8
 13. Etemadaabi M, Honari H, Hajinourmohamadi A, Bagheri H, Noofeli M. [Assessment of cytotoxicity of *Bacillus anthracis* recombinant protective antigen in free and encapsulated forms by double block Pla-peg and Pcl-peg copolymers on vero cell]. Jundishapur Sci Med J 2018; 17:377-86. (Persian)
 14. Singh NA, Mandal AKA, Khan ZA. Fabrication of Pla-peg nanoparticles as delivery systems for improved stability and controlled release of catechin. J Nanomat 2017; :1-9. doi. 10.1155/2017/6907149
 15. Kim SK, Foote MB, Huang L. The targeted intracellular delivery of cytochrome C protein to tumors using lipid apolipoprotein nanoparticles]. Biomaterials2012;33:3959-66. doi. 10.1016/j.biomaterials.2012.02.010
 16. Park J, Wrzesinski SH, Stern E, Look M, Criscione J, Ragheb R, et al. Combination delivery of TGF β inhibitor and IL2 by nanoscale liposomal polymeric gels enhances tumour immunotherapy. Nat Mate 2012;11:895-905. doi.10.1038/nmat3355
 17. Manickavasagam D, Novak K, Oyewumi MO. Therapeutic delivery of simvastatin loaded in Pla-peg polymersomes resulted in amplification of anti inflammatory effects in activated microglia. AAPS J2017;20:18. doi.10.1208/s12248-017-0176-3
 18. Vila A, Gill H, Mccallion O, Alonso MJ. Transport of Pla-peg particles across the nasal mucosa effect of particle size and peg coating density]. J Cont Rel2004;98:231-44. doi.10.1016/j.jconrel.2004.04.026
 19. Manish M, Rahi A, Kaur M, Bhatnagar R, Singh S. A single dose Plga encapsulated protective antigen domain 4 nanoformulation protects Mice against *Bacillus anthracis* spore challenge. Plos One 2013;8:61885. doi.10.1371/journal.pone.0061885
 20. Malik A, Gupta M, Mani R, Gogoi H, Bhatnagar R. Trimethyl chitosan nanoparticles encapsulated Protective antigen protects the Mice against anthrax. Front Immunol. 2018;9:562. doi. 10.3389/fimmu.2018.00562
 21. Jain AK, Goyal AK, Mishra N, Vaidya B, Mangal S, Vyas SP. Peg-pla-peg block copolymeric nanoparticles for oral immunization against hepatitis B. Int J Pharm 2010;387:253-62. doi.10.1016/j.ijpharm.2009.12.013
 22. Dong Y, Feng SS. Nanoparticles of poly D L-lactide methoxy poly ethylene glycol poly D L lactide blends for controlled release of paclitaxel. J Biomed Mate Res2006;78:9-12. doi. 10.1002/jbm.a.30684
 23. Li M, Cai RJ, Song S, Jiang ZY, Li Y, Gou HC, Qiu HJ. Evaluation of immunogenicity and protective efficacy of recombinant outer membrane proteins of *Haemophilus parasuis* serovar 5 in a murine model. PLoS One 2017;12:176537. doi.10.1371/journal.pone.0176537
 24. Martins VT, Chavezfumagalli MA, Lage DP, Duarte MC, Garde E, Costa LE. et al. Antigenicity immunogenicity and protective efficacy of three proteins expressed in the promastigote and amastigote stages of *Leishmania infantum* against visceral Leishmaniasis. PLoS One2015;10:137683. doi. 10.1371/journal.pone.0137683